

УДК 537.534.2:679.826

ВЛИЯНИЕ РАЗМЕРА КРИСТАЛЛИТА НА ТЕПЛО - И ЭЛЕКТРОПРОВОДНОСТЬ НАНОАЛМАЗНОГО ПОКРЫТИЯ

С.Ф. Дудник, А.И. Калиниченко, В.Е. Стрельницкий

Національний Науковий Центр «Харківський фізико-технічний інститут»

61108, Академіческа, 1, Харків, Україна

E-mail: aikalinichenko@kipt.kharkov.ua

Поступила в редакцию 13 сентября 2010 г.

Теоретически исследуется зависимость тепло- и электропроводности нанокристаллического алмазного покрытия от размера кристаллита и толщины пограничного слоя. Наноалмаз рассматривается как двухфазный композит, состоящий из диэлектрических зерен алмаза, разделенных тонкими прослойками графита с электронной проводимостью. Полученные выражения для теплопроводности и удельного электросопротивления демонстрируют согласие с экспериментом.

КЛЮЧЕВЫЕ СЛОВА: наноалмазное покрытие, кристаллит, переходный слой, теплопроводность, электропроводность

INFLUENCE OF GRYSTALLITE SIZE ON THERMO- AND ELECTRO- CONDUCTIVITIES OF NANODIAMOND COATING

S.F. Dudnik, A.I. Kalinichenko, V.E. Strel'ničkij

National Science Center «Kharkov Institute of Physics & Technology»

Akademicheskaya Str., 1, 61108, Kharkov, Ukraine

Dependence of thermo- and electro- conductivities of nanocrystalline diamond coating on crystalline size and boundary layer depth is theoretically investigated. Nanodiamond is considered as two-phase material composed of dielectric diamond grains segregated by thin graphite layers with electronic conductivity. Derived expressions for thermoconductivity and resistivity show accordance with experimental data.

KEY WORDS: nanodiamond coating, crystalline grain, boundary layer, thermoconductivity, electroconductivity

ВПЛИВ РОЗМІРУ КРИСТАЛІТА НА ТЕПЛО - І ЕЛЕКТРОПРОВІДНІСТЬ НАНОАЛМАЗНОГО ПОКРИТТЯ

С.Ф. Дудник, О.І. Калініченко, В.Е. Стрельницький

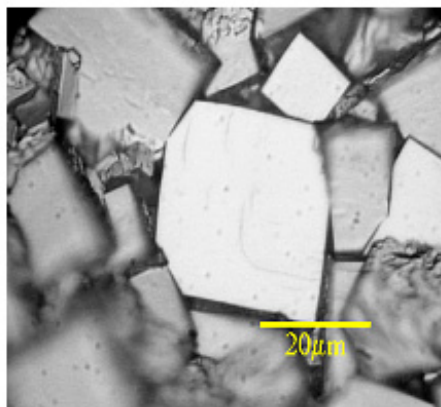
Національний Науковий Центр «Харківський фізико-технічний інститут»

61108, Академічна, 1, Харків, Україна

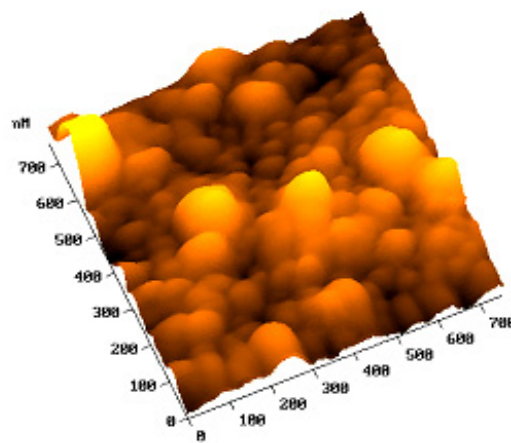
Теоретично досліджується залежність тепло- і електропровідності нанокристалічного алмазного покриття від розміру кристаліта й товщини межового шару. Наноалмаз розглядається як двофазний композит, який складається з діелектрических зерен алмазу, що роз'єднані тонкими прослойками графіту з електронною провідністю. Одержані вирази для електропровідності і питомого електроопору демонструють згоду з експериментом.

КЛЮЧОВІ СЛОВА: наноалмазне покриття, кристаліт, переходний шар, теплопровідність, електропровідність

Тонкие ультрананокристаллические алмазные (УНКА) пленки с размером зерна порядка (2-10) нм [1-3] обладают рядом особенностей, отсутствующих у поликристаллических пленок, также получаемых в технологии синтеза алмаза из газовой фазы. Прежде всего, УНКА имеют гладкую поверхность (рис. 1), во многих случаях не требующую обработки (полировки) [2,3]. Второй не менее важной особенностью покрытий УНКА является наличие у них заметной электропроводности, что существенно расширяет область возможных приме



(а)



(б)

Рис. 1. Морфология поверхности поликристаллической (а) и нанокристаллической (б) алмазных пленок.

Изображения получены с помощью РЭМ (а) и АСМ (б). Поле изображения АСМ (б) $0,8 \times 0,8 \text{ мкм}^2$,
 шероховатость 4,7 нм [2,3].

нений таких покрытий. Наконец, их малая теплопроводность, в сотни раз меньшая теплопроводности алмаза, позволит применять УНКА в качестве теплоизолирующего материала, а также требует специального учета при расчете тепловых режимов в технологических процессах с их использованием.

Ввиду малого размера зерен их границы в значительной степени определяют тепловые, электрические и оптические свойства УНКА. Знание этих свойств и возможность управлять ими крайне важны для практического использования УНКА покрытий. В настоящее время разработаны методы выращивания УНКА покрытий с требуемым размером зерна [4]. Поэтому определение зависимости электро- и теплофизических характеристик наноалмазных покрытий от размера зерна весьма актуально.

Целью работы является теоретическое исследование зависимости тепло- и электропроводности УНКА от размера кристаллита и толщины пограничного слоя.

МАТЕМАТИЧЕСКАЯ МОДЕЛЬ И РЕЗУЛЬТАТЫ РАСЧЕТОВ

Теплопроводность УНКА

Будем исходить из того, что наноалмаз представляет собой композит из зерен алмаза (sp^3 - связанный углерод), разделенных (сравнительно) тонкими прослойками графита (sp^2 - связанный углерод). Ввиду повышенной дефектности пограничного слоя, образующий его графит можно считать аморфизованным. Согласно таким представлениям, тепло- (электро)-проводность наноалмаза необходимо находить как соответствующую величину двухфазного композиционного материала. Для этого необходимо знать определенные характеристики каждой из фаз и учесть изменение этих характеристик при переходе к нанометровым размерам.

Теплопроводность алмаза имеет чисто фононную природу, то есть может быть истолкована как диффузия тепловых фононов. Коэффициент температуропроводности алмаза κ_D связан со средней длиной пробега фона на соотношением [5]: $\kappa_D = s_D l_{ph} / 3$, где s_D – продольная скорость звука в алмазе ($s_D = 1,5 \cdot 10^4$ м/с), l_{ph} – эффективная длина пробега фона на в алмазе. В случае монокристалла и при комнатных температурах l_{ph} определяется, в основном, рассеянием на дефектах кристаллической решетки (примесные атомы).

Оценим величину l_{ph} . Известно, что теплопроводность монокристалла алмаза λ_D , близка к 2000 Вт/(м·К). Воспользовавшись соотношением $\kappa = \lambda / \rho C$ между коэффициентами температуропроводности и теплопроводности, получаем $\kappa_D = 11 \text{ см}^2/\text{с}$. Здесь $\rho = 3500 \text{ кг}/\text{м}^3$ – плотность, $C = 511 \text{ Дж}/(\text{кг}\cdot\text{К})$ – удельная теплоемкость алмаза при нормальных условиях. Воспользовавшись (1), получаем оценку: $l_{ph} = 220 \text{ нм}$. Полученная величина значительно превышает размеры кристаллитов наноалмаза. Предполагая, что фононы эффективно отражаются/рассеваются на границах кристаллитов, приходим к выводу, что именно «диаметр» кристаллита d является параметром, определяющим эффективную длину пробега фона на в наноалмазе [2,6].

Учитывая, что среднее удаление от границы в кристаллите близко к $d_g/2$, получаем для коэффициента температуропроводности кристаллита наноалмаза следующее выражение [6]:

$$\kappa_{NanoD} = \frac{s_D d_g}{6}. \quad (1)$$

Так, принимая $d = 2 \text{ нм}$, получаем

$$\kappa_{NanoD} = \kappa_D \frac{d_g}{2l_{ph}} = 5 \cdot 10^{-6} \text{ м}^2/\text{с}.$$

Соответственно, для коэффициента теплопроводности алмазной фазы получаем оценку $\lambda_D = 9 \text{ Вт}/(\text{м}\cdot\text{К})$.

Для теплопроводности нано- и поликристаллического алмаза можно предложить интерполяционную формулу, использующую эффективную длину пробега фона l_{ef} :

$$\frac{1}{l_{ef}} = \frac{1}{l_{ph}} + \frac{2}{d_g}. \quad (2)$$

Очевидно, что при $l_{ph} \ll d_g/2$ ($l_{ph} \gg d_g/2$) $l_{ef} \rightarrow l_{ph}$ ($l_{ef} \rightarrow d_g/2$). В частности, для ультрананокристаллов алмаза с $d = (2 - 5) \text{ нм}$ $l_{ef}(d_g)$ отличается от $d_g/2$ не более чем на 1%. В соответствии с (2), выражение (1) преобразуется к виду

$$\kappa_{NanoD}(d_g) = \frac{s_D}{3} \cdot \frac{l_{ph} d_g}{2l_{ph} + d_g}.$$

Соответственно, выражение для коэффициента теплопроводности алмазной фазы приобретает вид:

$$\lambda_g(d_g) = \rho_D C_D \frac{s_D}{3} \cdot \frac{l_{ph} d_g}{2l_{ph} + d_g}.$$

Теплопроводность пограничных слоев из аморфизированного графита между нанокристаллитами алмаза в настоящее время неизвестна. Поскольку графит является полуметаллом, то его теплопроводность имеет, в

основном, электронную, а не фононную природу. Величину коэффициента температуропроводности материала пограничного слоя можно оценить с помощью формулы $\kappa_b = l_e v_F / 3$, где l_e – длина свободного пробега электрона проводимости, v_F – скорость электрона с энергией Ферми ε_F . Для графита можно принять $\varepsilon_F = 0,026$ эВ [7]. Воспользовавшись формулой $v_F = \sqrt{2\varepsilon_F/m_e}$, где m_e – масса электрона, получаем: $v_F \approx 10^7$ см/с. Что касается длины пробега электрона l_e , то она ограничена снизу полушириной пограничного слоя между зернами $d_b/2$: $\kappa_b \approx d_b v_F / 6$. Принимая полуширину пограничного слоя равной среднему межатомному расстоянию $a = 2 \cdot 10^{-10}$ м, получаем оценку снизу $\kappa_b = 7 \cdot 10^{-6}$ м²/с, которая дает оценку теплопроводности пограничного слоя $\lambda_b(d_b) = \rho_b C_b \kappa_b \approx \rho_b C_b \frac{d_b v_F}{6} \geq 7$ Вт/(м·К). В результате зависимость коэффициента теплопроводности переходного слоя от толщины слоя приобретает вид $\lambda_b(d_b) = 25d_b$, где λ_b измеряется в единицах Вт/(м·К), а d_b – в нанометрах.

В реальном материале нанокристаллиты различаются как по форме, так и по величине, и поэтому не представляется возможным в аналитическом виде определить вклады каждой из двух фаз (алмазных зерен и графитовых прослойки) в суммарную теплопроводность. Поэтому при анализе реальная структура УНКА заменяется модельной структурой, которая физически корректно передает основные черты теплопередачи в двухфазном материале, каковым является УНКА.

На рис. 2 приведено схематическое изображение кристаллической структуры УНКА и эквивалентной модельной структуры, используемой для расчета эффективной теплопроводности, а также элементарной ячейки, состоящей из алмазного зерна (показано белым цветом) с окружающей его графитовой оболочкой – переходным слоем (показана серым цветом). Толщина оболочки не превышает 1 нм [2]. Исходя из принципа максимальной простоты модели, пространственную структуру элементарной ячейки будем характеризовать только двумя параметрами: размером алмазного зерна d_g и толщиной переходного графитового слоя d_b .

Направление теплового потока

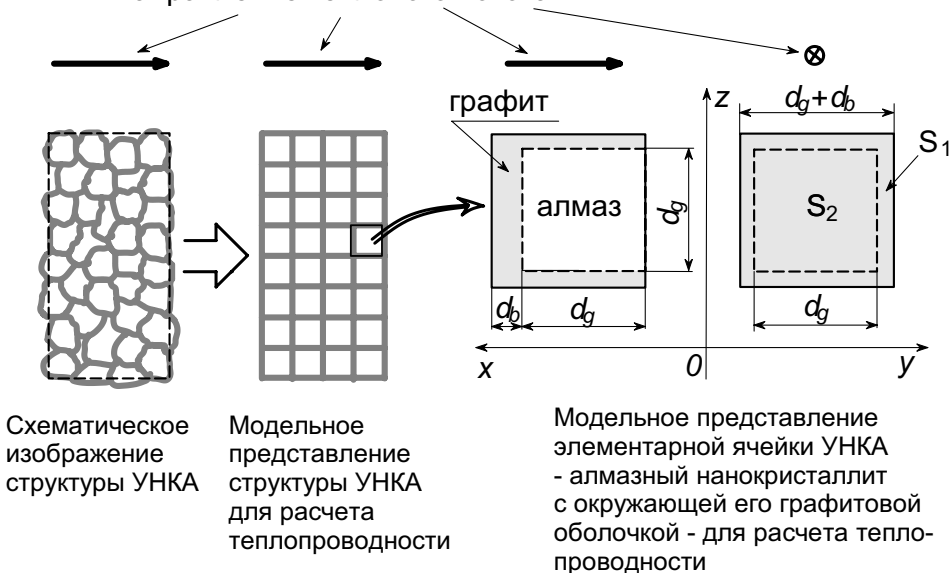


Рис. 2. Схематическое изображение кристаллической структуры УНКА и эквивалентной ей модельной структуры, используемой для расчета эффективной теплопроводности. Справа – ортогональные проекции модельной ячейки.

Аппроксимируем элементарную ячейку алмазным кубиком со стороной d_g , окруженным графитовой оболочкой толщиной d_b . Еще одним достоинством такого модельного представления кристаллической структуры УНКА является возможность анализировать процесс теплопередачи в одномерном приближении, используя только одну элементарную ячейку.

Определим эффективный коэффициент теплопроводности УНКА, применяя закон Фурье к распространению тепла через модельную элементарную ячейку (см. рис. 1). Пусть правая и левая границы ячейки находятся при неодинаковых температурах T_2 и T_1 , соответственно. Пусть, для определенности $T_1 > T_2$, так что поток тепла q , проходящий слева направо, определяется законом Фурье [8]:

$$q = -\lambda_{ef} S \nabla T = \lambda_{ef} S \frac{T_1 - T_2}{d_g + d_b}, \quad (3)$$

где $S = (d_g + d_b)^2$, а под градиентом температуры понимается его усредненное по толщине ячейки значение.

Выразим λ_{ef} через пространственные и тепловые характеристики фаз. Для этого представим поток q в виде суммы потоков $q = q_1 + q_2$, где q_1 – тепловой поток, проходящий через слой графита площадью $S_1 = (d_g + d_b)^2 - d_g^2$ и толщиной $d_g + d_b$; q_2 – тепловой поток через двухслойную структуру площадью $S_2 = d_g^2$ с толщиной графитового слоя d_b и алмазного слоя d_g (см. рис. 2). Для потока q_1 справедливо равенство

$$q_1 = -S_1 \lambda_b \nabla T = \left[(d_g + d_b)^2 - d_g^2 \right] \lambda_b \frac{T_1 - T_2}{d_g + d_b}. \quad (4)$$

При нахождении потока q_2 используем непрерывность потока тепла при переходе из первого слоя во второй. Это позволяет определить температуру T^* на границе раздела слоев:

$$T^* = \frac{d_g \lambda_b T_1 + d_b \lambda_g T_2}{d_g \lambda_b + d_b \lambda_g}.$$

Знание T^* позволяет определить поток q_2 :

$$\cdot q_2 = d_g^2 \lambda_b \frac{T_1 - T^*}{d_b} = \lambda_b \lambda_g d_g^2 \frac{T_1 - T_2}{d_g \lambda_b + d_b \lambda_g}. \quad (5)$$

Используя (3), (4), (5), получаем уравнение для определения λ_{ef} , решая которое, окончательно находим:

$$\lambda_{ef}(d_g, d_b) = \lambda_b(d_b) \left[1 + d_g^3 \frac{\lambda_g(d_g) - \lambda_b(d_b)}{(\lambda_b(d_b)d_g + \lambda_g(d_g)d_b)(d_g + d_b)^2} \right]. \quad (6)$$

Полученная формула физически корректно отображает зависимость теплопроводности композиционного материала от параметров фаз. В частности, при $\lambda_b \rightarrow 0 (\infty)$ эффективная теплопроводность также стремится к нулю (к бесконечности), поскольку переходной слой играет роль связующего (матрицы), в которое внедрены изолированные друг от друга зерна (включения). При $\lambda_g \rightarrow 0 (\lambda_g \rightarrow \infty)$ эффективная теплопроводность не стремится к нулю (к бесконечности). Таким образом, роль фаз - компонентов в рассматриваемом случае неэквивалентна, поэтому формула (6) несимметрична относительно двойной замены $\lambda_b \Leftrightarrow \lambda_g$ и $d_g \Leftrightarrow d_b$. При $\lambda_b = \lambda_g$ имеем $\lambda_{ef} = \lambda_g$, как и должно быть при переходе к гомогенному материалу. Наконец, при $d_g \rightarrow 0 / d_b \rightarrow 0$ также получаем естественный результат $\lambda_{ef} \rightarrow \lambda_b / \lambda_{ef} \rightarrow \lambda_g$, соответствующий переходу к гомогенному материалу.

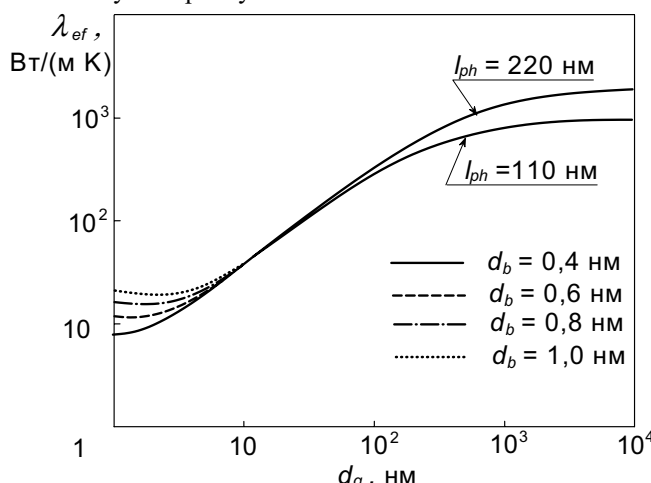


Рис. 3. Зависимость эффективной теплопроводности λ_{ef} УНКА от размера кристаллита d_g при различных толщинах переходного слоя d_b .

эксперимента. Однако, отсутствие данных по широкому перечню размеров кристаллитов не позволяет сделать окончательных выводов.

На рис. 3 показана зависимость эффективной теплопроводности λ_{ef} нанокристаллического алмаза от размера кристаллита d_g при различных толщинах переходного слоя d_b . Расчет проводился по формуле (6) для двух значений длины пробега фонона в монокристаллическом алмазе и при четырех различных толщинах переходного слоя. Как видно из рисунка, толщина переходного слоя влияет на теплопроводность УНКА только при размерах кристаллитов $d_g < 10$ нм, а длина пробега фонона l_{ph} практически не влияет. Как показывает эксперимент [2,3], при размерах кристаллитов 2-10 нм теплопроводность УНКА составляет 6-11 Вт/(м·К), тогда как в поликристаллической пленке теплопроводность варьирует в пределах 1800-2000 Вт/(м·К). Полученные нами результаты при $d_b = (0,4-0,6)$ нм согласуются с результатами

Электропроводность УНКА

Поскольку алмаз является хорошим диэлектриком, электропроводность УНКА полностью определяется

проводимостью пограничного слоя. Последняя может быть как электронного типа, если переходной слой состоит из чистого графита, либо иметь неэлектронную составляющую в случае наличия легирующей добавки (например, бора). В настоящей работе рассматривается только случай электронной проводимости пограничного слоя. Для удельного сопротивления r материала в этом случае справедливо соотношение $r = m_e / (ne^2 \tau_e) = m_e v_F / (ne^2 l_e) \sim 1/l_e$ [5], где m_e и e масса и заряд электрона, n – плотность электронов проводимости, v_F – фермиевская скорость электрона, τ_e и l_e – время и длина свободного пробега электрона проводимости.

Как известно, длина свободного пробега электрона проводимости в безграничном металле даже при комнатной температуре существенно превышает межатомное расстояние ($l_e = 200-250 \text{ \AA}$) [9]. Поскольку толщина переходного слоя d_b близка к a , то именно она определяет время свободного пробега электрона проводимости $\tau_e = d_b / 2v_F = (2-5) \cdot 10^{-15} \text{ с}$ и, в конечном итоге, электросопротивление материала переходного слоя. Принимая удельное сопротивление поликристаллического графита $r_G = 10^{-3} \text{ Ом} \cdot \text{см}$, приходим к выводу, что удельное сопротивление переходного слоя толщиной $d_b \sim a$ можно оценить с помощью выражения

$$r_b = r_G \frac{2l_e + d_b}{d_b}. \quad (7)$$

Перейдем к определению сопротивления УНКА. Ввиду случайности расположения кристаллитов, можно считать, что в любом достаточно большом объеме УНКА относительная доля φ объема, занимаемого графитовыми прослойками, остается постоянной. Под достаточно большим имеется ввиду объем, значительно превышающий объем одного зерна с окружающим его переходным слоем. В модели, в которой зерна аппроксимируются кубиками со стороной d_g , разделенными прослойками толщиной d_b , эта доля φ , равна

$$\varphi(d_g, d_b) = \frac{(d_g + d_b)^3 - d_g^3}{(d_g + d_b)^3}. \quad (8)$$

В частности, утверждение справедливо и для любого сколь угодно тонкого слоя, заключенного между двумя параллельными сечениями образца УНКА (см. рис. 4). Расстояние между сечениями выбирается из условия $\Delta x \ll d_b$, а площадь сечения S – из условия $S \gg (d_g + d_b)^3 / \Delta x$, которое формально всегда может быть выполнено. Последнее условие означает, что объем выбранного слоя значительно превышает объем кристаллита вместе с пограничным слоем. Таким образом, объем V_b , занимаемый в тонком слое материалом промежуточного слоя, равен $V_b = S \varphi \Delta x$. С другой стороны, для достаточно тонкого слоя объем V_b можно представить в виде $V_b = S_b \Delta x$, где для суммарной площади сечения S_b всех переходных слоев плоскостью $A-A'$ (см. рис. 4) получаем выражение $S_b = S \varphi(d_g, d_b)$. Ясно также, что для достаточно тонкого слоя суммарную

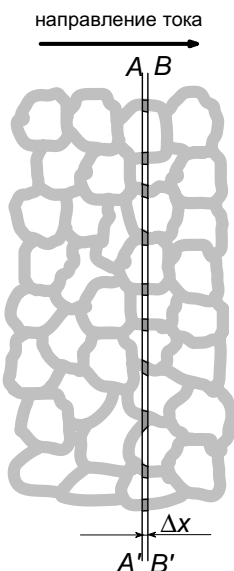


Рис. 4. Схема, поясняющая расчет удельного сопротивления УНКА. Белые области – алмазные зерна (изолятор), серые области цвет – межзеренный графитовый слой (проводник), темно-серые – проводящие области внутри выбранного тонкого слоя.

площадь сечения проводящего слоя можно принять равной S_b всюду внутри выбранного слоя. Это позволяет рассчитывать сопротивление этого слоя, пользуясь элементарным законом для сопротивления проводника с постоянными длиной Δx и площадью сечения S_b . Пусть направление тока совпадает с нормалью к секущим плоскостям $A-A'$ и $B-B'$. В этом случае электросопротивление тонкого слоя, определяемое только материалом переходного слоя, задается выражением:

$$R = \frac{\eta_b \Delta x}{S_b} = \frac{r_b \Delta x}{S \varphi(d_g, d_b)}. \quad (9)$$

С другой стороны, сопротивление слоя можно выразить через эффективное удельное сопротивление r_{ef} его материала:

$$R = \frac{r_{ef} \Delta x}{S}. \quad (10)$$

Сравнивая (9) и (10) и используя (7), (8), получаем окончательно:

$$r_{ef}(d_g, d_b) = \frac{(2l_e + d_b)r_G}{d_b} \frac{(d_g + d_b)^3}{(d_g + d_b)^3 - d_g^3}.$$

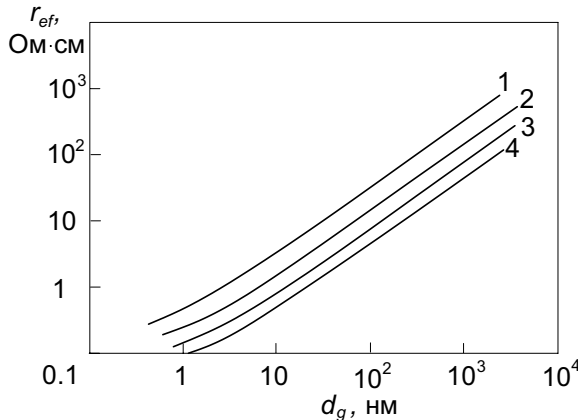


Рис. 5. Зависимость электросопротивления УНКА от размера кристаллита d_g при толщинах переходного слоя $d_b = 0,4; 0,6; 0,8$ и $1,0$ нм (кривые 1-4, соответственно).

На рис. 5 приведены зависимости удельного сопротивления УНКА от размера зерен d_g для четырех толщин переходного слоя $d_b = 0,4; 0,6; 0,8$ и $1,0$ нм. Расчет проводился при следующих значениях параметров: $l_e = 40$ нм; $r_G = 10^{-3}$ Ом·см. Как видно из рисунка, отклонение от линейного закона $r_{ef} \sim d_g$ наблюдается только в случае зерен малых размеров $d_g < 5$ нм.. Результаты расчета корреспондируют с экспериментальными данными по электросопротивлению УНКА [2,3]. В реальных материалах эффективное сопротивление УНКА может отличаться как в большую так и в меньшую сторону, ввиду неопределенности при выборе длины пробега l_e электрона в безграничном графите. Кроме того, существует возможность реализации УНКА покрытий с большой толщиной переходного слоя $d_b = (1-5)$ нм [2,3], проводимость которых увеличивается пропорционально d_b^2 .

ВЫВОДЫ

1. В модели, описывающей структуру кристаллического алмаза с помощью всего двух параметров – характерного размера зерна d_g и характерной толщины переходного слоя d_b - получены аналитические выражения для теплопроводности и удельного электросопротивления алмаза для размеров зерна от 1 нм и более. Полученные выражения физически корректно описывают поведение тепло- и электропроводности в широком диапазоне изменения параметров фаз.

2. Согласно модели, теплопроводность УНКА увеличивается с размером зерна от ~ 10 Вт/(м·К) до $\sim 2 \cdot 10^3$ Вт/(м·К), выходя на константу, соответствующую поликристаллическому алмазу при $d_g \sim 10^3$ нм.

3. В диапазоне размеров зерен $d_g > 10$ нм теплопроводность УНКА слабо зависит от толщины переходного слоя d_b . В области $d_g < 10$ нм теплопроводность возрастает с ростом d_b .

4. Полученное в работе выражение для λ_{ef} УНКА может быть использовано для описания теплопроводности произвольного двухфазного нанокристаллического материала.

5. Зависимость удельного сопротивления УНКА от величины зерна практически линейная при $d_g > 5$ нм. В области $d_g < 5$ нм наблюдается незначительное отклонение от линейности. Коэффициент пропорциональности уменьшается с ростом толщины переходного слоя по закону $\sim d_b^{-2}$.

6. Полученные в модели величины тепло- и электропроводности, а также их поведение в зависимости от размера зерна согласуются с известными данными эксперимента по УНКА покрытиям. Для дальнейшей проверки корректности предложенной модели необходимо провести измерения тепло- и электропроводности в диапазоне размеров зерен от 1 нм до 100 нм при контролируемой толщине переходного слоя.

СПИСОК ЛИТЕРАТУРЫ

1. Gruen D.M. Nanocrystalline diamond films // Annu. Rev. Mater. Sci. – 1999. – Vol. 29. – P. 211-259.
2. Ральченко В.Г., Кононов В.И., Савельев А.В., Попович А.Ф. и др. Свойства легированных алмазных пленок, выращенных в СВЧ разряде // Сб. докладов XVII Международного симпозиума “Тонкие пленки в электронике”. – М.: МВТУ. – 2005. – С. 541-546.
3. Ralchenko V., Pimenov S., Konov V., et al. Nitrogenated nanocrystalline diamond films: thermal and optical properties // Diamond and Related Materials. – 2007. – Vol.16. – P. 2067-2073.
4. Выровец И.И., Грицына В.И., Дудник С.Ф., Опалев О.А., Решетняк Е.Н., Стрельницкий В.Е. Нанокристаллические алмазные CVD-пленки: структура, свойства и перспективы применения // Физ. инж. поверхн. - 2010. - Т. 8, № 1. - С. 4-19.
5. Киттель Ч. Введение в физику твёрдого тела. - М.: Наука, 1978. - 696 с.
6. Калиниченко А.И., Перепелкин С.С., Стрельницкий В.Е. Ускорение кинетических процессов в нанокристаллическом материале при ионном облучении // Вісник Харківського університету, серія фізична «Ядра, частинки, поля». – 2007. - № 784, вип. 4/36/. - С. 39-47.
7. Іцкевич Е.С., Фишер Л.М.. Измерение эффекта Шубникова – де-Гааза в графите под давлением до 8 кбар //Письма в ЖЭТФ. - 1967. - Т.5 - Вип.5 - С.141-144.
8. Тихонов А.Н., Самарский А.А. Уравнения математической физики, 5-е изд. - М.: Наука, 1977.- 736 с.
9. Левич В.Г., Вдовин Ю.А., Мяmlin В.А. Курс теоретической физики. - Т.2. - М.: Физматгиз, 1962. – 820 с.